

С 344. 1т

1/сб-71

A-139

СООБЩЕНИЯ
ОБЪЕДИНЕННОГО
ИНСТИТУТА
ЯДЕРНЫХ
ИССЛЕДОВАНИЙ

Дубна

597/2-71



1 - 5462

А.У. Абдурахимов, К.П. Вишневская,
Нгуен Дин Ты

ЛАБОРАТОРИЯ ВЫСОКИХ ЭНЕРГИЙ

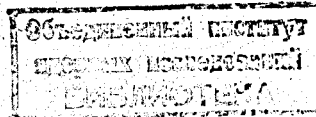
ГЕНЕРАЦИЯ ТРЕКОВ
ТЯЖЕЛЫХ ЗАРЯЖЕННЫХ ЧАСТИЦ
И ЭЛЕКТРОНОВ
С УЧЕТОМ РАДИАЦИОННЫХ ПОТЕРЬ

1970

1 - 5462

А.У. Абдурахимов, К.П. Вишневская,
Нгуен Дин Ты

ГЕНЕРАЦИЯ ТРЕКОВ
ТЯЖЕЛЫХ ЗАРЯЖЕННЫХ ЧАСТИЦ
И ЭЛЕКТРОНОВ
С УЧЕТОМ РАДИАЦИОННЫХ ПОТЕРЬ



Введение

В работе ^{/2/} описана программа в коде БЭСМ-4, которая генерирует фиктивные треки тяжелых заряженных частиц.

Настоящая программа, написанная на языке FORTRAN, генерирует треки тяжелых заряженных частиц, а также треки электронов с учётом радиационных потерь. Ниже описывается процедура генерации.

Описание генерации фиктивного трека

Трек частицы разбит на равные участки, длина каждого участка обозначена через STEP . В первой точке трека задается импульс P_0 , азимутальный и глубинный углы β_0 , α_0 , а также координаты X_0 , Y_0 , Z_0 . Эти шесть параметров рассчитываются после прохождения частицей пути STEP и будут исходными для следующего участка пути и т.д.

В основе расчёта лежит система уравнений ^{/3/}:

$$\frac{d\alpha}{ds} = \frac{e}{PC} (H_y \cos \beta - H_x \sin \beta) , \quad (1)$$

$$\frac{d\beta}{ds} = \frac{e}{PC} [-H_z + \operatorname{tg} \alpha (H_x \cos \beta + H_y \sin \beta)] , \quad (2)$$

$$\frac{dP}{ds} = \left(\frac{dP}{ds} \right)_{\text{ион}} + \left(\frac{dP}{ds} \right)_{\text{рад.}}, \quad (3)$$

$$\frac{dX}{ds} = \cos \alpha \cos \beta, \quad (4)$$

$$\frac{dY}{ds} = \cos \alpha \sin \beta, \quad (5)$$

$$\frac{dZ}{ds} = \sin \alpha. \quad (6)$$

В этих выражениях

$$\frac{e}{C} = 0.3,$$

H_x , H_y , H_z – проекции на оси координат напряженности магнитного поля в килогауссах.

$$ds = \text{STEP} \quad (\text{в сантиметрах}).$$

Первый член уравнений (3) характеризует ионизационные потери как для тяжелых частиц, так и для электрона. Второй член учитывает средние радиационные потери только для электрона.

Для частиц тяжелее электрона радиационные потери не учитываются. Радиационные потери для электронов могут сильно отличаться от средних. В программе это учтено следующим образом.

В пренебрежении потерями на столкновения вероятность того, что электрон с импульсом P_0 , пройдя слой ds , будет иметь импульс от P до $P + dP$, дается выражением/4/:

$$W(P) dP = \frac{dP}{P_0} \left(\ln \frac{P_0}{P} \right)^{t-1} [\Gamma(t)]^{-1}, \quad (7)$$

где

$$t = \frac{ds}{\ln 2 X_0},$$

X_0 – радиационная длина.

$$\text{Для } t \ll 1, \Gamma(t) \approx \frac{1}{t}.$$

При $\frac{P}{P_0} \approx 1$ хорошим приближением формулы (7) является выражение

$$W(P) = t P_0^{-1} (1 - PP_0^{-1})^{t-1}. \quad (8)$$

Среднее значение импульса на выходе слоя ds равно:

$$\bar{P} = P_0 (1 - t \ln 2). \quad (9)$$

Средние же радиационные потери на единицу длины будут:

$$\left(\frac{dP}{ds} \right)_{\text{рад.}} = \frac{P - P}{ds} \approx - \frac{P_0}{X_0}. \quad (10)$$

В таком виде в формуле (3) взят член, определяющий средние радиационные потери. Отклонение от среднего значения импульса

$$\delta P = \bar{P} - P. \quad (11)$$

определяет флюктуацию в радиационных потерях. Величина может быть любой в пределах спектра и определяется следующим образом.

Если перейти к новой переменной

$$U = \frac{\int_{P_0}^P W(P) dP}{\int_0^{P_0} W(P) dP}, \quad (12)$$

то при изменении P от 0 до P_0 по закону $W(P)$ переменная U будет меняться от 0 до 1 с равной вероятностью $W(U)$. Действительно,

$$\frac{dU}{dP} = \frac{W(P) dP}{\text{const}} \quad \text{и} \quad W(U) = W(P) \frac{dP}{dU} = \text{const}.$$

Переменная U находится с помощью стандартной программы случайных чисел. Для случая $\frac{P}{P_0} \approx 1$ связь между P и U будет иметь вид

$$P = P_0 [1 - (1 - U)^{1/t}]. \quad (13)$$

При больших потерях электронов в слое ds связь между P и U взята в виде

$$P = P_0 [X_{i-1} + 0,01 \left(\frac{U - S_{i-1}}{S_i - S_{i-1}} \right)], \quad (14)$$

где $S_i = \int_0^P W(P) dP$ вычисляется численным методом при разных $P = P_0 X_i$ через определенный интервал $\Delta P = 0,01 P_0$. Величина U удовлетворяет условию

$$S_{i-1} \leq U < S_i.$$

Среднее значение импульса \bar{P} , полученное при интегрировании уравнения (3), исправляется на величину δP . Импульс на выходе слоя, ds

$$P = \bar{P} - \delta P. \quad (15)$$

В уравнения (1) + (3) подставляется уже исправленное значение импульса. Многократное рассеяние исказит результаты выполненного интегрирования. Учёт многократного рассеяния и ошибок измерения сделан так, как в работе ^{2/}.

Описание программы

На рис. 1 приведена упрощенная схема программы генерации треков. С помощью основной программы GENER вводятся следующие величины:

1. Таблица значений проекций на оси координат напряженности магнитного поля.
2. Число генераций трека (NEV). Максимальное число генераций - 500.
3. Максимальное число точек на треке (NP), которое можно вывести на печать, оно равно 20.
4. Шаг расчёта точек в сантиметрах (STEP).
5. Масса частицы в $M\text{эв}/c^2$ (AM).

6. Глубинный угол в радианах (A_1) .
7. Азимутальный угол в радианах (A_2) .
8. Начальный импульс частицы в Мэв/с (A_3) .
9. Координаты начальной точки траектории (A_4 , A_5 , A_6).
10. Два идентификатора ISW(2), которые играют роль переключателей.

11. Номера начальной и конечной точек на треке, в которых строятся распределения по импульсу (KJ , NT).

12. Число, определяющее интервал между точками, в которых строятся распределения (KN) .

Программа GENER вызывает подпрограмму FIKTIV, в которой осуществляется процедура генерации трека. Формальными параметрами этой подпрограммы являются:

1. Число генераций трека (NEV).
2. Число точек на треке (NP), которые выводятся на печать.
3. Шаг расчёта точек (STEP) .
4. Ошибки в определении координат (D_x , D_y , D_z).
5. Коэффициент многократного рассеяния (CMB) .
6. Радиационная длина (RL) .

Кроме подпрограммы FIKTIV, еще используется 11 подпрограмм.

MAGFIL вычисляет в каждой точке трека компоненты напряженности магнитного поля: Подробно эта программа описана в работе /1/.

EXTERN вычисляет правые части уравнений (1) + (6).

AUTORK интегрирует дифференциальные уравнения (1) + (6) методом Рунге-Кутта с автоматическим выбором шага. Эта подпрограмма вызывает подпрограмму INTSTP, которая выполняет ту же роль, что и AUTORK, но для постоянного шага интегрирования.

RANNOR генерирует два случайных числа, распределенных по нормальному закону с дисперсией, равной единице.

RNDM генерирует случайные числа, равномерно распределенные в интервале (0,1).

EKSTR, DISTRI , HISTOG осуществляют построение распределений по импульсу в точках трека.

HEITLR определяет разыгранное значение импульса P на выходе слоя **STEP** .

Подпрограммы **AUTORK** , **INTSTP** , **RANNOR** , **RNDM** описаны в библиотеке СП на машине БЭСМ-6. Под заголовком "**INITIAL PARAMETERS**" печатаются величины, первоначально введенные программой **GENER** . Под заголовком "**CALCULATED PARAMETERS**" в строчку печатаются рассчитанные величины: номер точки, расстояние точки от начала трека, глубинный и азимутальный углы, импульс и координаты точки с учётом ошибок измерения. Указанные величины печатаются для каждой точки трека для данного числа генераций. Имеется вариант программы, когда кроме печати, выдаются еще гистограммы распределений по P . В обоих случаях происходит запись результатов на магнитную ленту.

Проверка программы

Было генерировано по 500 треков:

π^- -мезонов с $P_0 = 5000$ Мэв/с,

протонов с $P_0 = 2000$ Мэв/с,

электронов с $P_0 = 1500$ Мэв/с.

Эти треки обсчитаны по геометрической программе ГЕОФИТ-1 .

Результаты представлены в виде гистограммы соответственно на рисунках 2 (а,б,в) и в таблице. Видно, что после обсчёта по программе ГЕОФИТ-1 получены в пределах ошибок те же значения импульсов.

Предлагаемый метод учёта радиационных потерь для электрона был проверен еще иным способом. Генерировались треки электронов с $P_0 = 300$ Мэв/с с учётом только радиационных потерь и многократного расщепления. Полученные распределения по импульсу на выходе слоя пропана толщиной 10 см и 20 см представлены на рис. 3 (а,б). На этих же рисунках нанесена теоретическая кривая. Видно, что в обоих случаях наблюдается удовлетворительное согласие между гистограммой и теоретической кривой.

В заключение считаем своим приятным долгом поблагодарить М.И. Соловьеву, Е.Н. Кладницкую, В.Н. Пенева, В.М. Попову, В.А. Белякова, Х.Я. Супличакова и Ю.В. Тевзадзе за постоянный интерес к работе и обсуждения.

Авторы также благодарят лаборантку В.С. Ваксину за подготовку программ.

Л и т е р а т у р а

1. А.У. Абдурахимов, Нгуен Дин Ты, В.Н. Пенев. Сообщение ОИЯИ, I-5140, Дубна, 1970.
2. А.Д. Макаренкова, В.И. Мороз, А.П. Стельмах, Г.И. Тентюкова. Препринт ОИЯИ, Р10-3526, Дубна, 1967.
3. Г.А. Емельяненко, К.П. Ломов, Г.И. Макаренко, В.И. Мороз, И.С. Саитов, А.П. Стельмах. Препринт ОИЯИ, Р-2829, Дубна, 1966.
4. В. Гайтлер. Квантовая теория излучения. ИЛ, Москва, 1956.

Рукопись поступила в издательский отдел
4 декабря 1970 года.

ТАБЛИЦА

Параметры P , $\lg \alpha$, β π^- -мезонов, заложенные
как начальные условия в генератор, а также
результаты расчёта этих параметров
по программе ГЕОФИТ-1

№ расч.	Параметр	ЧИСЛО СО- БЫТИЙ ЧАС- ТИЦ И ВИД	Результаты	
			Генератор	ГЕОФИТ-1
1	$P(\text{Мэв}/\text{с})$	1000	1001.78	+1.78 ± 2.88
		500	0.80934	0.30996 -0.00062 ± 0.00032
		1.57000	1.56988	-0.00012 ± 0.00020
		40.0	40.0	
2	$P(\text{Мэв}/\text{с})$	2750	2762.49	+12.5 ± 9.3
		500	-0.30934	-0.30959 -0.00025 ± 0.00015
		1.57000	1.56984	-0.00016 ± 0.00010
		40	40	
3	$P(\text{Мэв}/\text{с})$	5000	4998.89	-1.11 ± 6.5
		500	0.00	0.00127 0.00127 ± 0.00009
		1.57079	1.57084	+0.00005 ± 0.00006
		160	160	
4	$P(\text{Мэв}/\text{с})$	10000	10002.3	+2.29 ± 26.8
		0.0	0.00016	0.00016 ± 0.000084
		250	1.5700	1.57000 0.0 ± 0.000052
		100	100	
5	$P(\text{Мэв}/\text{с})$	15000	15066	+66.0 ± 59.0
		0.10033	0.10059	0.00026 ± 0.000056
		500	1.57079	1.57075 -0.0004 ± 0.0003
		50	50	
6	$P(\text{Мэв}/\text{с})$	10000	39904.5	-95.46 ± 85.8
		500	0.0	0.00019 0.00019 ± 0.000018
		1.57000	1.56998	-0.00002 ± 0.000012
		120	120	

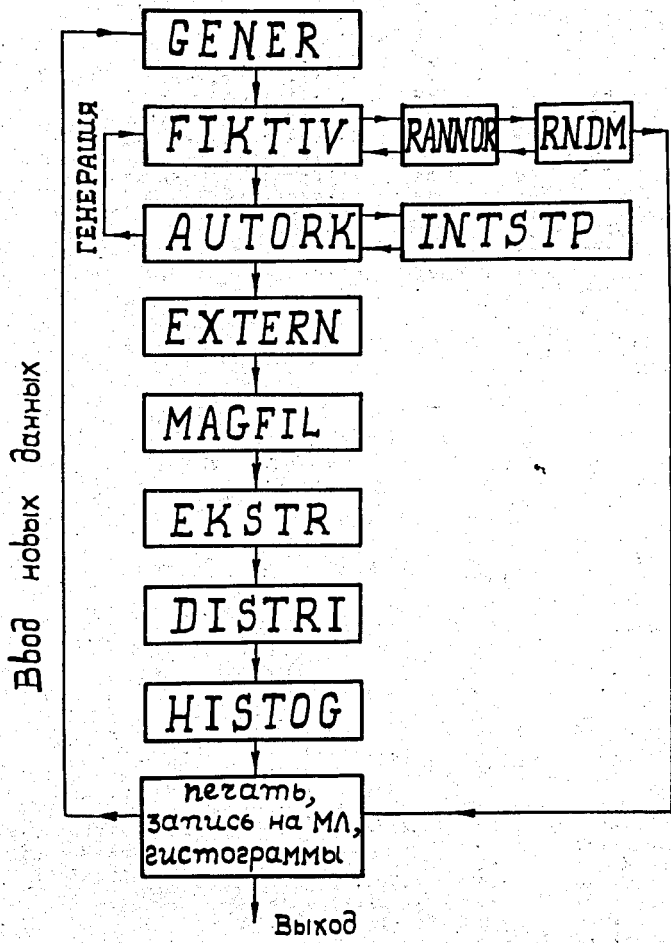


Рис. 1. Упрощенная схема программы генерации треков.

a)

----S P E C T R U M O M E N T U M----

BELOW THE LIMIT,

ABOVE THE LIMIT

TOTAL NUMBER OF EVENTS 498
INTERVALUNIT# 3
EVENTS

4,5037+003	4,5599+003	2	I
4,5599+003	4,6161+003	2	I
4,6161+003	4,6723+003	4	I X 1
4,6723+003	4,7285+003	9	I XXX
4,7285+003	4,7847+003	27	I XXXXXXXXXX
4,7847+003	4,8409+003	46	I XXXXXXXXXXXX0xxxxxx1
4,8409+003	4,8971+003	44	I XXXXXXXXXXXX0xxxxxx2
4,8971+003	4,9533+003	70	I XXXXXXXXXXXX0xxxxxxxxx0xxx1
4,9533+003	5,0095+003	55	I XXXXXXXXXXXX0xxxxxxxx1
5,0095+003	5,0658+003	70	I XXXXXXXXXXXX0xxxxxxxx0xxx1
5,0658+003	5,1220+003	56	I XXXXXXXXXXXX0xxxxxxxx2
5,1220+003	5,1782+003	35	I XXXXXXXXXXXX0y?
5,1782+003	5,2344+003	29	I XXXXXXXXXXXX2
5,2344+003	5,2906+003	19	I XXXXXXX1
5,2906+003	5,3468+003	11	I XXX?1
5,3468+003	5,4030+003	10	I XXX1
5,4030+003	5,4592+003	2	I
5,4592+003	5,5154+003	3	I X
5,5154+003	5,5716+003	2	I
5,5716+003	5,6278+003	2	I

b)

----S P E C T R U M O M E N T U M----

BELOW THE LIMIT,

ABOVE THE LIMIT

TOTAL NUMBER OF EVENTS 500
INTERVALUNIT# 2
EVENTS

1,7800+003	1,8000+003	0	I
1,8000+003	1,8200+003	0	I
1,8200+003	1,8400+003	0	I
1,8400+003	1,8600+003	2	I X
1,8600+003	1,8800+003	3	I X 1
1,8800+003	1,9000+003	18	I XXXXXXXXX
1,9000+003	1,9200+003	17	I XXXXXXXX1
1,9200+003	1,9400+003	33	I XXXXXXXXXXXX0xxxxxxxx1
1,9400+003	1,9600+003	46	I XXXXXXXXXXXX0yxxxxxxxx0
1,9600+003	1,9800+003	63	I XXXXXXXXXXXX0yxxxxxxxx0xxxxxxxx0x1
1,9800+003	2,0000+003	73	I XXXXXXXXXXXX0xxxxxxxx0xxxxxxxx0xxxxxxxx0xxxxxx
2,0000+003	2,0200+003	65	I XXXXXXXXXXXX0yxxxxxxxx0xxxxxxxx0xxxxxxxx0xxxxxxxx0xxxxxx
2,0200+003	2,0400+003	62	I XXXXXXXXXXXX0yxxxxxxxx0xxxxxxxx0xxxxxxxx0xxxxxxxx0xxxxxx
2,0400+003	2,0600+003	45	I XXXXXXXXXXXX0yxxxxxxxx0xxxxxxxx0xxxxxx1
2,0600+003	2,0800+003	35	I XXXXXXXXXXXX0yxxxxxxxx1
2,0800+003	2,1000+003	21	I XXXXXXXXXXXX01
2,1000+003	2,1200+003	8	I XXXX
2,1200+003	2,1400+003	5	I XX1
2,1400+003	2,1600+003	3	I X1
2,1600+003	2,1800+003	3	I X1
2,1800+003	2,2000+003	3	I X1
2,2000+003	2,2200+003	0	I
2,2200+003	2,2400+003	0	I

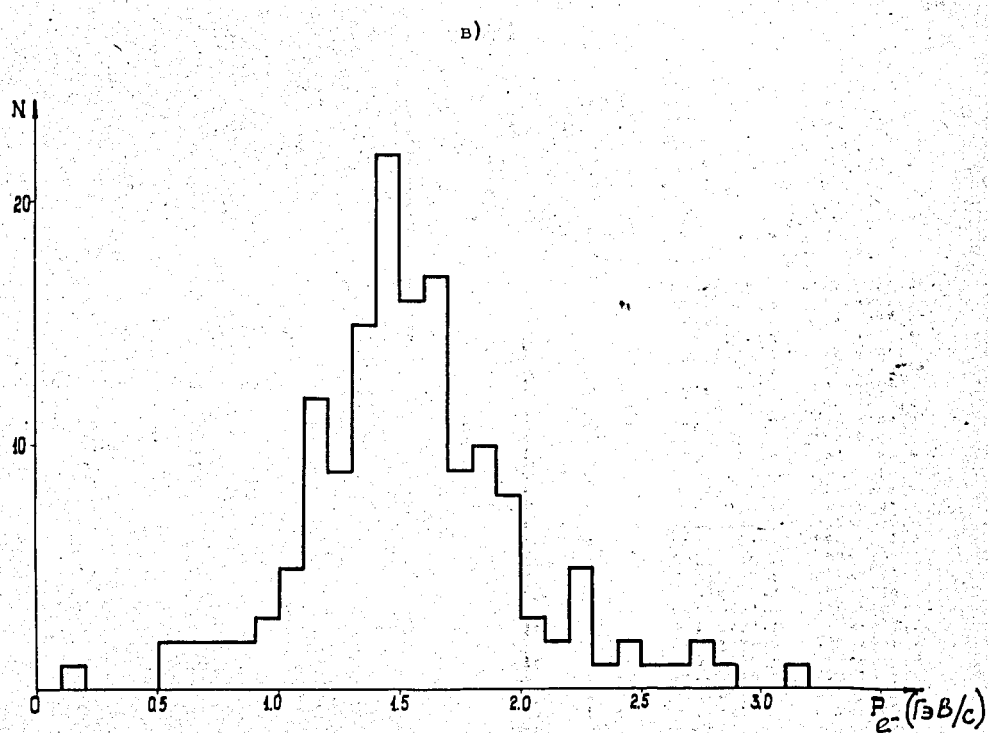
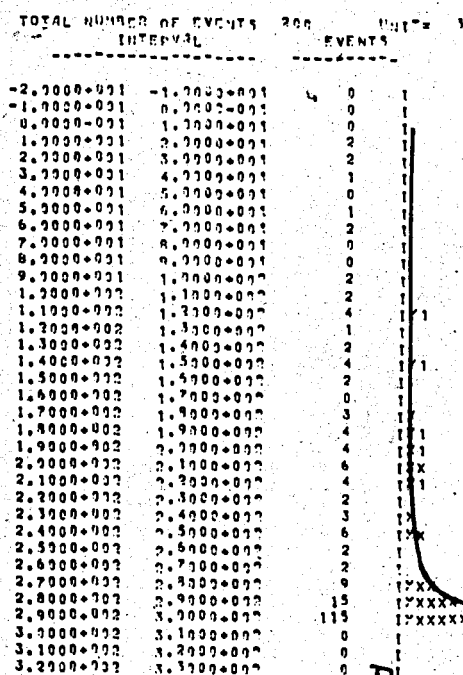


Рис. 2. Распределения импульсов, вычисленных по генерированным трекам, по программе ГЕОФИТ-1. Начальный импульс частиц при генерации задан для: а) π -мезонов - 5000 Мэв/с, б) протонов - 2000 Мэв/с, в) электронов - 1500 Мэв/с. В каждом распределении 500 событий.

Рис. 3. Распределения импульсов, вычисленных при генерации треков электронов без учёта ионизационных потерь на выходе слоя пропана, толщиной: а) 10 см, б) 20 см. Начальный импульс электронов на входе заданного слоя пропана – 300 Мэв/с. В каждом распределении 200 событий.



6)

TOTAL NUMBER OF EVENTS	INTERVAL	EVENTS
-3.0000+011	-2.3700+001	0
-2.0000+011	-1.9100+001	0
-1.9000+011	-0.2100-001	0
0.1000+011	1.0000+001	1
1.0000+011	7.0000+001	4
2.0000+011	3.0000+001	1
3.0000+011	4.3700+001	5
4.0000+011	5.3700+001	2
5.0000+011	5.3700+001	2
6.0000+011	7.0000+001	4
7.0000+011	8.0000+001	1
8.0000+011	9.3700+001	2
9.0000+011	1.9100+002	2
1.0000+002	1.1200+002	3
1.1200+002	1.2300+002	3
1.3000+002	1.3700+002	3
1.3000+002	1.4700+002	2
1.4000+002	1.5300+002	9
1.5000+002	1.5300+002	3
1.6000+002	1.7000+002	5
1.7000+002	1.9000+002	1
1.8000+002	1.9000+002	5
1.9000+002	2.0000+002	7
2.0000+002	2.1000+002	0
2.1000+002	2.2100+002	2
2.2000+002	2.3100+002	6
2.3000+002	2.4000+002	7
2.4000+002	2.5700+002	7
2.5000+002	2.6100+002	4
2.6000+002	2.7100+002	7
2.7000+002	2.8100+002	12
2.8000+002	2.9000+002	23
2.9000+002	3.0000+002	58
3.0000+002	3.1100+002	0
3.1000+002	3.2100+002	9
3.2000+002	3.3100+002	0